

Simulação de um processo de manipulação com um robô de braço duplo do tipo Yaskawa SDA10F

Pedro Miguel Loureiro Amaral

9 de Janeiro de 2022

1 Introdução

Este relatório tem por objetivo explorar a cinemática direta, inversa e diferencial de um robô de braço duplo do tipo Yaskawa SDA10F. Este robô tem um total de 15 graus de liberdade tendo uma junta colinear no tronco e em cada braço alternadamente 4 juntas colineares e 3 ortogonais.

Após definir a sua cinemática será abordado o desenvolvimento do código de uma aplicação em Matlab que mostre uma animação do movimento de um robô. Nesta animação, o robô a pegar em 2 blocos vindos de tapetes rolantes diferentes, 1 com cada braço, depois os junte simulando uma operação de colagem e finalmente rode e pouse no tapete rolante atrás. Após estas ações o robô deve rodar de novo para frente e preparar-se para pegar em novos blocos. Nesta animação também deve ser simulado o movimento dos blocos que deve acontecer linearmente enquanto estiverem nos tapetes, à exceção dos momentos em que o robô os estiver a pegar ou a pousar.

2 Cinemática Direta

Para começar a analisar o robô deste projeto é necessário primeiro estabelecer a cinemática direta deste. Inicialmente foi concluída a seguinte:

Table 1: Cinemática Direta do Braço Direito

Elo i	θ_i	l_i	d_i	α_i
1	θ_1	LX	LZ	$-\pi/2$
2	θ_2	0	LA	$\pi/2$
3	θ_3	0	0	$-\pi/2$
4	θ_4	0	LB	$\pi/2$
5	θ_5	0	0	$-\pi/2$
6	θ_6	0	LC	$\pi/2$
7	θ_7	0	0	$-\pi/2$
8	θ_8	0	LD	0

No entanto esta foi alterada de forma a criar uma junta virtual entre as juntas 0 e 1 para obter uma melhor visualização e outra entre as juntas 4 e 5 para facilitar os cálculos da cinemática inversa. Adicionalmente, para facilitar a animação foi também considerado que o robô na posição "zero hardware" encontra-se virado para x negativo. Assim sendo foram considerados os parâmetros de cinemática direta nas seguintes tabelas:

Table 2: Cinemática Direta do Braço Direito

Elo i	θ_i	l_i	d_i	α_i
1	$\theta_1 + \pi/2$	0	LZ	$-\pi/2$
1a	$-\pi/2$	0	LX	$-\pi/2$
2	$\theta_2 + \pi/2$	0	LA	$\pi/2$
3	θ_3	0	0	$-\pi/2$
4	θ_4	0	LB	$\pi/2$
5	$\theta_5 + \pi/2$	LC	0	0
5a	$-\pi/2$	0	0	$-\pi/2$
6	θ_6	0	0	$\pi/2$
7	θ_7	0	0	$-\pi/2$
8	θ_8	0	LD	0

Table 3: Cinemática Direta do Braço Esquerdo

Elo i	θ_i	l_i	d_i	α_i
1	$\theta_1 + \pi/2$	0	LZ	$-\pi/2$
1a	$-\pi/2$	0	LX	$\pi/2$
2	$\theta_2 - \pi/2$	0	LA	$-\pi/2$
3	θ_3	0	0	$\pi/2$
4	θ_4	0	LB	$-\pi/2$
5	$\theta_5 - \pi/2$	LC	0	0
5a	$\pi/2$	0	0	$\pi/2$
6	θ_6	0	0	$-\pi/2$
7	θ_7	0	0	$+\pi/2$
8	θ_8	0	LD	0

3 Cinemática Inversa

Uma das formas para mover os end-effectors do robô é através da sua cinemática inversa. No entanto este robô tem 15 graus de liberdade, 7 em cada braço e 1 no tronco, o que o faz infinitamente redundante. Assim de forma a ser possível calcular um número finito de soluções com a cinemática inversa foram fixadas 3 juntas, a junta 0 dado que influencia o movimento dos 2 braços e a junta 3 de cada um dos braços dado que fixar uma junta ortogonal ou a junta 1 iria diminuir o espaço de trabalho e a 5 e a 7 são convenientes para definir a orientação dos end-effectors.

Após reduzir cada braço a 6 graus de liberdade foi usado o conceito de punho esférico de modo a calcular as soluções. Um punho esférico existe quando as 3 últimas juntas são colinear-ortogonal-colinear e o centro do referencial das 3 juntas é o mesmo. Dado que inicialmente o robô não tinha a antepenúltima junta com o centro igual às restantes 2 criou-se a junta virtual 5a referida na

secção da cinemática direta de modo a efetuar uma translação dessa junta para coincidir com as outras 2.

Considerando que o último elo deve estar na direção vertical no sentido para baixo (y negativo), então é possível calcular os valores referentes à translação da matriz de transformação desde a junta 0 até à 5a da seguinte forma:

$$\begin{cases} Pwx = x \\ Pwy = y \\ Pwz = z - LD \end{cases} \quad (1)$$

Excluindo as últimas 3 juntas, a matriz de transformação resulta da multiplicação das restantes matrizes. Como θ_1 e θ_3 estão fixados a 0 encontramos então as seguintes expressões para as coordenadas de Pw no braço direito:

$$\begin{cases} Pwx = -LX - LC * c2 * c5 * s3 - LB * c2 * s3 - LC * s5 * c2 * c3 \\ Pwy = LA + LB * c3 - LC * s5 * s3 + LC * c5 * c3 \\ Pwz = LZ + LB * s2 * s3 + LC * s5 * s2 * c3 + LC * c5 * s2 * s3 \end{cases} \quad (2)$$

Este sistema de equações tem 3 incógnitas que são o θ_2 , θ_3 e θ_5 . Através da divisão de Pwz por Pwx é possível deduzir que:

$$\theta_2 = \arctan\left(\frac{(Pwz - LZ) * \text{sign}(LB * s3 + LC * s5 * c3 + LC * c5 * s3)}{(-Pwx - LX) * \text{sign}(LB * s3 + LC * s5 * c3 + LC * c5 * s3)}\right) \quad (3)$$

É também possível deduzir apartir da soma de todos os quadrados que:

$$\theta_5 = \pm \arccos\left(\frac{(-Pwx - LX)^2 + (Pwy - LA)^2 + (Pwz - LZ)^2 - LB^2 - LC^2}{2 * LB * LC}\right) \quad (4)$$

É ainda possível, através da equação de Pwy e da solução de $\text{acos}(\theta) + b\sin(\theta) = c$, deduzir que:

$$\theta_3 = 2 * \arctan\left(\frac{-LC * s5 \pm \sqrt{LB^2 + LC^2 + 2 * LB * LC * c5 - (Pwy - LA)^2}}{LB + LC * c5 + Pwy - LA}\right) \quad (5)$$

Com os ângulos anteriores definidos faltam então os pertencentes ao punho esférico. Para isso é necessário calcular a matriz de transformação referente a esses 3 ângulos. Esta pode ser calculada com a multiplicação $A6 * A7 * A8$ resultando nos 3 ângulos necessários como as 3 incógnitas. Numericamente, após calcular θ_2 , θ_3 e θ_5 e sabendo a posição e orientação do end-effector, também pode ser calculada da seguinte forma:

$$0T8 = 0T5a * 5T8 \Leftrightarrow 5T8 = (0T5a)^{-1} * 0T8 \quad (6)$$

Consequentemente, a partir de $a3x$ e $a3y$ podemos concluir:

$$\begin{cases} a3x = -c6 * s7 \\ a3y = -s6 * s7 \end{cases} \Leftrightarrow \theta6 = \arctan\left(\frac{\mp a3y}{\mp a3x}\right) \quad (7)$$

Considerando que $a3x^2 + a3y^2 = s5^2$ e que $a3z = c5$ então para $\theta7$ temos:

$$\theta7 = \arctan\left(\frac{\pm \sqrt{a3x^2 + a3y^2}}{a3z}\right) \quad (8)$$

Finalmente de $s3z$ e $n3z$ podemos concluir:

$$\begin{cases} s3z = -s7 * s8 \\ n3z = s7 * c8 \end{cases} \Leftrightarrow \theta8 = \arctan\left(\frac{\pm s3z}{\mp n3z}\right) \quad (9)$$

Para o braço esquerdo foi efetuado um processo semelhante sendo as equações bastante parecidas com algumas trocas de sinais.

4 Cinemática Diferencial

A segunda forma de calcular os movimentos do robô é através da cinemática diferencial deste. Este método permite um melhor controlo da trajetória do end-effector do robô mas apresenta alguma incerteza. Sendo $r = [x \ y \ z \ \phi \ \theta \ \psi]$ representando a posição e orientação do end-effector, $q = [\theta2 \ \theta3 \ \theta5 \ \theta6 \ \theta7 \ \theta8]$ representando os ângulos de junta relevantes e J o jacobiano da função de transformação, para calcular o jacobiano de cada braço do robô foram derivadas em relação a $\theta2, \theta3, \theta5, \theta6, \theta7$ e $\theta8$ as seguintes equações:

$$\begin{cases} x = T(1, 4) \\ y = T(2, 4) \\ z = T(3, 4) \\ \phi = \arctan\left(\frac{T(2, 1)}{T(1, 1)}\right) \\ \theta = \arctan(-T(3, 1)/\sqrt{T(1, 1)^2 + T(2, 1)^2}) \\ \psi = \arctan(T(3, 2)/T(3, 3)) \end{cases}, T \Rightarrow \text{matriz de transformação} \quad (10)$$

É de notar que quando a cinemática diferencial é usada, θ e a sua derivada têm sempre o valor 0 implicando que o seu cosseno é sempre superior a 0, validando o uso das equações acima para ϕ e ψ .

Dada a definição de jacobiano, segue-se a seguinte equação:

$$dr = J * dq \quad (11)$$

Isto também significa que usando o Jacobiano Inverso:

$$dq = J^{-1} * dr \quad (12)$$

Sendo dr constante podemos considerar dr como a alteração da posição e orientação do end-effector. Ao multiplicar o jacobiano inverso por este vetor encontramos assim a evolução dos ângulos de juntas para o movimento do end-effector indicado no vetor. Este método permite assim que sejam efetuados movimentos lineares.

5 Principais Funções

- `InitRobot`: desenha o Robô no ambiente de simulação e retorna os "handlers" gráficos de cada braço.
- `invkinL`, `invkinR`: cálculo da cinemática inversa do braço esquerdo e do direito, respetivamente. Caso os resultados sejam todos imaginários ou ultrapassem os limites das juntas, o que significa que o destino está fora do espaço de trabalho, estas funções devolvem uma lista vazia. Caso existam várias soluções possíveis é escolhida a com menor soma dos ângulos.
- `jacobianL`, `jacobianR`: devolvem a matriz do jacobiano do braço esquerdo e direito, respetivamente.
- `jacobianLInv`, `jacobianRInv`: devolvem a matriz do jacobiano inverso do braço esquerdo e direito, respetivamente. Caso a matriz do jacobiano não tenha inversa, devolvem NaN.
- `CalculateRobotMotion`: calcula e devolve a superhipermatriz com todas as transformações geométricas através das matrizes de DH para as diversas configurações. Opcionalmente, desenha o caminho do end-effector.
- `JacobianMotion`: calcula e adiciona as transformações geométricas de um determinado movimento através de cinemática diferencial à superhipermatriz com todas as transformações geométricas. Se o jacobiano inverso for impossível de calcular ou os resultados ultrapassem os limites das juntas emite uma mensagem de erro e fecha o programa.
- `InverseMotion`: calcula e adiciona as transformações geométricas de um determinado movimento através de cinemática inversa à superhipermatriz com todas as transformações geométricas.
- `TP2Animation`: função principal do programa, usa todas as funções anteriores para fazer os cálculos necessários para obter o caminhos dos end-effectors e no fim mostra a animação dos movimentos dos braços dos robôs incluindo o gripper e dos blocos. Adicionalmente também mostra uma mensagem de erro e fecha o programa quando as funções da cinemática inversa não devolvem uma solução.

6 Diagrama de Funcionamento Geral

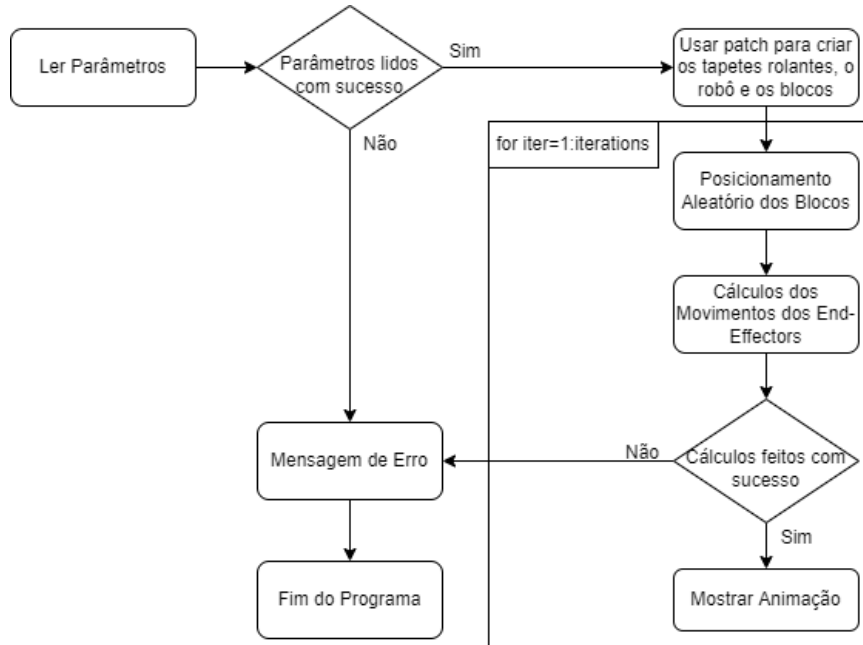


Imagem 1: Diagrama de Funcionamento Geral do Programa

7 Execução do Programa

Para executar o programa o utilizador deve chamar a função TP2Animation que tem 2 parâmetros: plotPath que decide que o caminho dos end-effectors deve ser representado antes do movimento e iterations que decide o número de vezes que a animação ocorre. Um exemplo pode ser encontrado no ficheiro "main.m".

8 Conclusão

Concluindo, foram cumpridos todos os requisitos do projeto tendo sido possível obter a cinemática direta, inversa e diferencial do robô e sendo possível observar na animação o seu uso para animar o movimento de um robô a mover blocos. Como ponto extra, os blocos foram apanhados das primeiros tapetes com orientações e posições aleatórias.

Por fim, segue-se o vídeo demonstrativo: <https://www.youtube.com/watch?v=QfRQ9jFAsH4>.